



Atividade Avaliativa 2 – Controle Discreto

12/08/2024

Cancelamento e Alocação de Polos, LGR e Controle DeadBeat

Aluno: Gabriel Almeida Santos de Oliveira.

Nº de matrícula: 2021000042.

1. (O Sistema) Considere um sistema para controle de temperatura, cujo modelo é dado por:

$$T_L(s) = \frac{0.95}{(16s + 1)} [Q_{in}(s) + T_{Amb}(s)] \quad (1)$$

$$Q_{in}(s) = \frac{13.4}{(0.5s + 1)} [U_F(s)] \quad (2)$$

Queremos manter a temperatura do fluido $T_L(t)$ (variável a ser controlada) rente a um valor desejado. Para tanto, aplicamos um sinal elétrico $U_F(t)$ (variável manipulada), que por meio de um banco de resistores altera o fluxo de calor fornecido ao sistema $Q_{in}(t)$. Temos como distúrbio variações na temperatura ambiente $T_{Amb}(t)$.

Todos os controladores devem ser projetados diretamente no plano 'z'. Discretizem a planta, e escolham um tempo de amostragem adequado.

2. (Cancelamento e Alocação de Polos)

- a) Ajuste um controlador PI discreto por cancelamento de polos tal que a resposta do sistema para referência, em malha-fechada (MF), seja pelo menos 3 vezes mais rápida que a resposta em malha-aberta (MA) e sem nenhum pico. (Dica: cancele o polo mais rápido do processo).

Primeiramente foi calculado a função transferência da planta:

$$T_L(s) = \frac{0.95}{(16s + 1)} [Q_{in}(s) + T_{Amb}(s)]$$

$$Q_{in}(s) = \frac{13.4}{(0.5s + 1)} U_F(s)$$

* Para projeto do controlador o distúrbio ($T_{Amb}(s)$) será ignorado.

$$\therefore T_L(s) = \frac{0.95}{(16s + 1)} \left[\frac{13.4}{(0.5s + 1)} U_F(s) \right] \Rightarrow \frac{T_L(s)}{U_F(s)} = \frac{0.95 \cdot 13.4}{(16s + 1)(0.5s + 1)}$$

$$\frac{T_L(s)}{U_F(s)} = \frac{12.73}{(16.05)(s + 2)(s + 0.0625)} = \frac{1.59}{(s + 2)(s + 0.0625)} = \frac{1.59}{s^2 + 2.0625s + 0.125}$$

* Polos no domínio contínuo:

$$P_{s1} = -2$$

$$P_{s2} = -0.0625$$



A partir da planta, para projeto do controlador foi desenvolvido o seguinte Código no matlab:

```
1 clc; clear all;
2
3 %% FT Planta
4 s=tf('s');
5 Gma=(0.95*13.4)/((0.5*s+1)*(16*s+1))
6
7 poles=roots(Gma.denominator{1})
8
9 step_result=stepinfo(Gma);
10 tsd=step_result.SettlingTime/3
11 % pela resposta ao step é observado que a FTMA
12 % tem um tempo de assentamento
13 % de aproximadamente 61s.
14
15 %% Calculando Ts
16 Ts=tsd/25 %0.76
17
18 %% discretização com casamento de polos e zeros:
19 Gma_z=zpk(c2d(Gma, Ts, 'matched'))
20 % step(Gma_z, Gma)
21
22
23 %% verificação polos discretos
24 disp('# FTMA_z Poles:')
25 polos=pole(Gma_z)
```

- A Função de Transferência contínua:

$G_{ma} =$

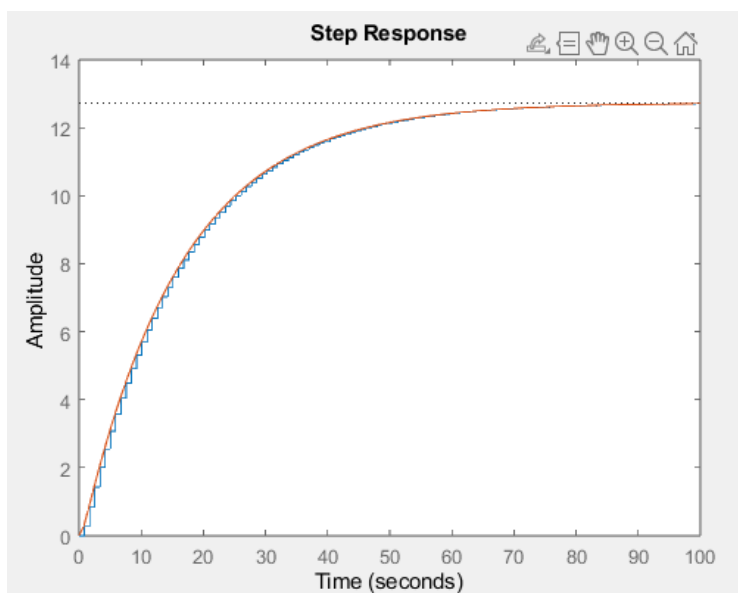
12.73

$8s^2 + 16.5s + 1$

Continuous-time transfer function.

- O tempo de assentamento da malha aberta foi obtida pela resposta ao degrau, visto que se deseja 1/3 do tempo de assentamento da resposta ao degrau da MA, se calculou o tempo de assentamento desejado e o tempo de amostragem foi aproximado por 1/25 avos deste, o que resulta em aproximadamente 0.84 segundos.

- Abaixo a resposta ao degrau da MA e da discretização.



- A Função de Transferência discretizada por casamento de polos e zeros, a seguir seus polos discretos:

$G_{ma_z} =$

$0.26547 (z+1)$

$(z-0.9488)(z-0.1859)$

Sample time: 0.84139 seconds

Discrete-time zero/pole/gain model.

FTMA_z Poles:

ans =

0.9488

0.1859



Se calcula então qual o polo desejado para as especificações de desempenho pedidas,

* Calculando a E.C. desejada:

$$z_d = 1; t_{rd} = 4 \Rightarrow \frac{4}{20} = 0.2 \Rightarrow \omega_{nd} = 0.2$$

$$\hookrightarrow M_p = 0\% \quad \frac{z_d \omega_{nd}}{1 \cdot \omega_{nd}} \quad \frac{1 \cdot \omega_{nd}}{20}$$

∴ E.C. d = $s^2 + 2 \cdot z_d \cdot \omega_{nd} s + \omega_{nd}^2 = s^2 + 0.4 s + 0.04$

* polos:

$$s_{p0} = \frac{-0.4 \pm \sqrt{(0.4)^2 - 4 \cdot 1 \cdot 0.04}}{2 \cdot 1} = \frac{-0.4 \pm 0}{2} = \begin{cases} s_{p1} = -0.2 \\ s_{p2} = -0.2 \end{cases}$$

∴ E.C. d = $(s + 0.2)(s + 0.2)$

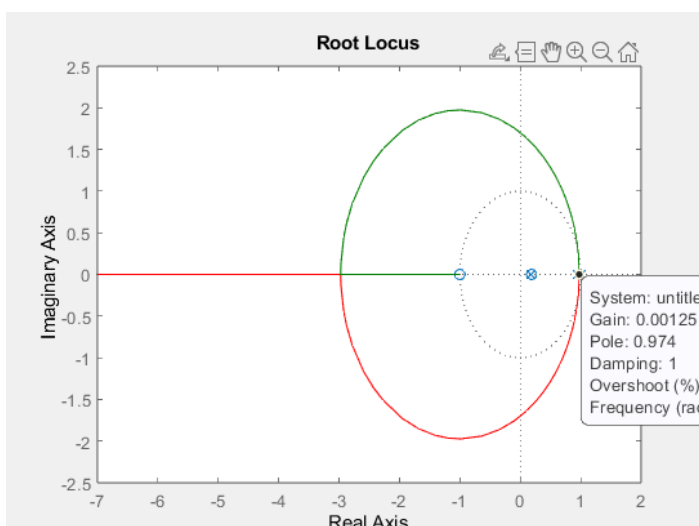
Utilizando o matlab se obtém os polos dominantes discretos desejados:

```
28
29 %% Cálculo dos polos dominantes desejados
30 Pds = [-0.2 -0.2];
31 Pdz1 = exp(Ts*Pds(1))
32 Pdz2 = exp(Ts*Pds(2))
33
```

Pdz1 =
0.8451

Pdz2 =
0.8451

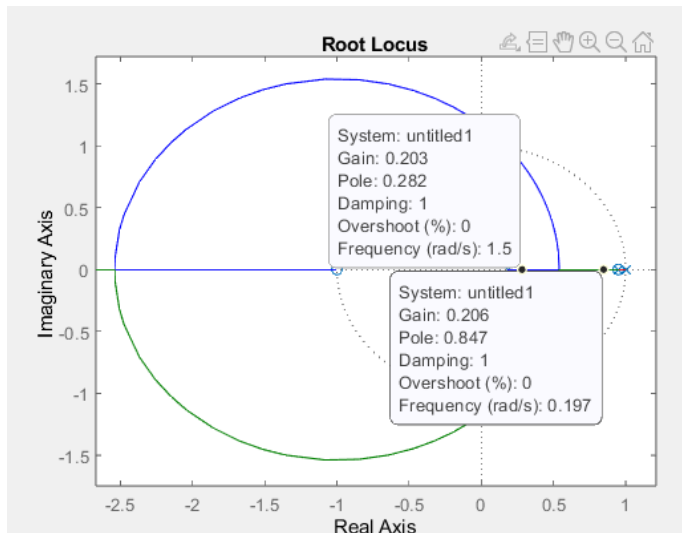
O controlador PI tem o formato: $C(Z) = K_c \cdot (Z - z_1) / (Z - 1)$. Onde, neste caso 'z1' é o polo o qual se deseja cancelar. Intuitivamente, uma vez que se deseja acelerar a resposta da planta em MF, tende-se a crer que o polo mais lento deve ser cancelado. Porém, observando o LR abaixo da planta vezes o controlador, ao cancelar o polo mais lento, se nota que seria necessário um ganho muito pequeno (da ordem de $1e-3$) para que a planta cumprisse o requisito de nenhum sobressinal, isto é, os polos dominantes não possuem parte complexa. E, sabendo a posição dos polos desejados, se percebe que caso seja cancelado o polo mais lento ($P_{z2} = 0.1859$) o LR não passa pelo polo dominantes desejado. Portanto, é cancelado o polo mais rapido ($P_{z1} = 0.9488$).



```
34
35 %% Calculo controlador
36 z = tf('z', Ts);
37 [faster_pole, ind] = max(polos)
38 pole2cancel = faster_pole;
39 %pole2cancel = 0.1859;
40 C_z = (z - pole2cancel) / (z - 1);
41 rlocus(Gma_z*C_z)
42
```



Observando o lugar das raízes da planta vezes o controlador cancelando o polo mais rápido, se encontra o ganho que leva o polo dominante até o polo discreto desejado:



- Que resulta no controlador:

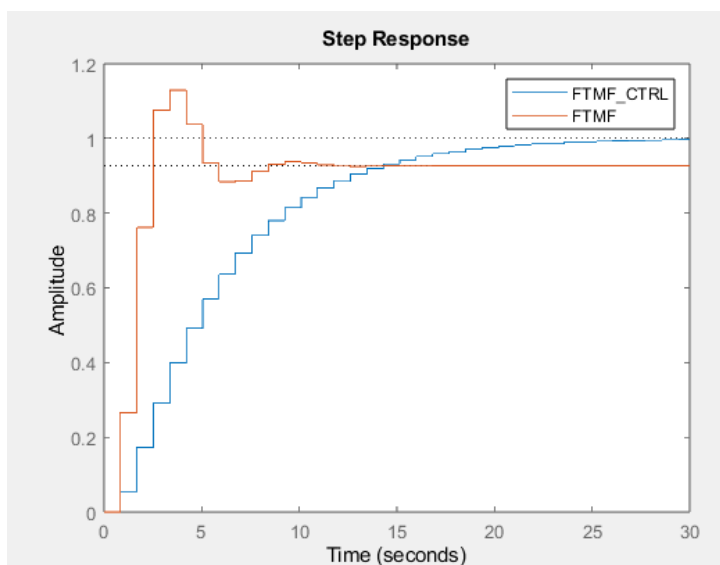
```
43  
44 — Kc = 0.208;  
45 — C_z = zpk(Kc*C_z)  
46
```

$$C_z = \frac{0.208 (z - 0.9488)}{(z - 1)}$$

Então, através do código abaixo se obteve o sistema de malha fechada assim como sua resposta ao degrau:

```
45  
46 %% Calculado a FTMF resultante  
47 — GC_z = minreal(Gma_z*C_z);  
48 — GC_mf_z = feedback(GC_z, 1)  
49 — G_mf_z = feedback(Gma_z, 1);  
50 — step(GC_mf_z, G_mf_z)  
51 — legend("FTMF_CTRL", "FTMF")  
52 — controlled_step_result = stepinfo(GC_mf_z)  
53 — controlled_step_result.SettlingTime  
54
```

```
GC_mf_z =  
0.055217 (z+1)  
-----  
(z-0.2851) (z-0.8455)  
Sample time: 0.84139 seconds  
Discrete-time zero/pole/gain model.
```



controlled_step_result =

struct with fields:

```
RiseTime: 10.9381  
SettlingTime: 21.0348  
SettlingMin: 0.9050  
SettlingMax: 1.0000  
Overshoot: 0  
Undershoot: 0  
Peak: 1.0000  
PeakTime: 66.4698
```



Observa-se que o tempo de assentamento do sistema com o controlador é aproximadamente 1/3 do tempo de assentamento da malha aberta assim como o overshoot é nulo. Logo, se atingiu as especificações de desempenho desejadas. Toda via, se observa que o ganho de malha fechada é bem pequeno (ordem de 10^{-2}), característico do método de cancelamento de polos, e pode vir a ser um problema na aplicação prática do controlador.

- b) Ajuste um controlador PI ou PID discreto por alocação de polos tal que a MF do sistema para referência apresente dois polos reais e iguais e que a dinâmica em MF seja 3 vezes mais rápida que a resposta em malha-aberta (MA) e sem nenhum pico.

Dado que a planta e as especificações de desempenho são as mesmas da questão anterior, a porção inicial do projeto do controlador não teve nenhuma alteração, como se observa no código utilizado abaixo:

```
1  clc; clear all;
2
3  %% FT Planta
4  s=tf('s');
5  Gma = (0.95*13.4) / ((0.5*s + 1)*(16*s + 1))
6
7  step_result = stepinfo(Gma);
8  tsd = step_result.SettlingTime/3
9
10
11 %% Calculando Ts
12 Ts = tsd/25 %0.76s
13
14
15 %% discretização com casamento de polos e zeros:
16 Gma_z = zpk(c2d(Gma, Ts, 'matched'))
17
```

- De onde se obtém as funções de transferência contínua e discreta:

$$G_{ma} = \frac{12.73}{8s^2 + 16.5s + 1}$$

$$G_{ma_z} = \frac{0.26547(z+1)}{(z-0.9488)(z-0.1859)}$$

A partir das especificações de desempenho pedidas, t_s da MF 1/3 do t_s de Malha aberta e zero sobressinal, se calcula os polos dominantes desejados:

```
18
19 %% Cálculo do wn
20 zeta = 1; % nenhum sobressinal
21 % visto que se deseja 1/3 do tempo de assentamento de MA (~61s),
22 % se arredonda o ts desejada pra 20 para evitar parte complexa no
23 % polo desejado
24 wn = 4 / (20*zeta);
25
26 %% calculo da equação característica continua desejada
27 EC_d = s^2 + 2*wn*zeta*s + wn^2
```




MINISTÉRIO DA EDUCAÇÃO
SECRETARIA DE EDUCAÇÃO PROFISSIONAL E TECNOLÓGICA
INSTITUTO FEDERAL DE EDUCAÇÃO, CIÊNCIA E TECNOLOGIA DO AMAZONAS
CAMPUS MANAUS - DISTRITO INDUSTRIAL



De onde se obtém a equação característica desejada:
 Discretizando os polos desejados contínuos:

```
30
31 %% Cálculo dos polos dominantes discretos desejados na MF
32 Pds = pole(1/EC_d)
33 Pdz1 = exp(Ts*Pds(1))
34 Pdz2 = exp(Ts*Pds(2))
35 z = tf('z', Ts);
36 EC_dz = (z - Pdz1) * (z - Pdz2)
```

- De onde se obtém os polos discretos desejados:

$$EC_d =$$

$$s^2 + 0.4s + 0.04$$

$$Pdz1 =$$

$$0.8451 + 0.0000i$$

$$Pdz2 =$$

$$0.8451 - 0.0000i$$

- E a equação característica desejada discreta:

$$EC_{dz} =$$

$$z^2 - 1.69z + 0.7142$$

Se optou por utilizar um controlador PID, de posse da equação característica desejada se desenvolve o seguinte sistema de equações abaixo para se chegar ao valor dos zeros e do ganho do controlador.

Planta:

$$G(z) = \frac{0.2654(z+1)}{(z-0.9488)(z-0.7859)}$$

$$C_{PID}(z) = \frac{K_c(z-z_1)(z-z_2)}{z(z-1)}$$

E.C. dz: $(z-0.8451)(z-0.8451) = z^2 - 1.69z + 0.7142 = 0$

FTMF: $\frac{N_o \cdot N_c}{P_o D_c + N_o N_c}$

$$\therefore G_{CMF}(z) = \frac{0.2654(z+1)K_c(z-z_1)(z-z_2)}{(z-0.9488)(z-0.7859)z(z-1) + 0.2654K_c(z+1)(z-z_1)(z-z_2)}$$

* Como que se montado o sistema de equações, é possível observar que a ordem da E.C. da FTMF é maior do que a ordem da E.C. desejada, o que irá resultar em um sistema sem solução. Então, considerando que tanto o polo 'z' do controlador como o polo (z-0.7859) são muito lentos e pouco influenciam na resposta transitória do sistema, estes serão ignorados para o cálculo das constantes do controlador.

\therefore E.C. FTMF: $(z-0.9488)(z-1) + 0.2654K_c(z+1)(z-z_1)(z-z_2)$

$$z^2 - z - 0.9488z + 0.9488 + 0.2654K_c z + 0.2654K_c(z^2 - z_1z + z_1z_2)$$

* será definido $A = 0.9488$; $B = 0.2654$

$$z^2 - z - Az + A + BK_c z^2 - BK_c z_1 z^2 - BK_c z_1 z + BK_c z_1 z_2 + BK_c z^2 - BK_c z_1 z - BK_c z_1 z + BK_c z_1 z_2$$



* Os sistemas de equações ainda são incompatíveis, pois, portanto, acrescentamos um polo no infinito (em 0 no domínio discreto) à F.C. desejada para não alterar significativamente seu comportamento e viabilizar a resolução do sistema de equações.

$$EC_d = Z(Z - 0,8451)(Z - 0,8451) = Z^3 - 0,8451Z^2 - 0,8451Z^2 + 0,7142Z + 0,2^0$$

• Igualando as equações características:

$$Z^3: BK_c = 1$$

$$Z^2: 1 - BK_c z_2 - BK_c z_1 + BK_c = -0,8451$$

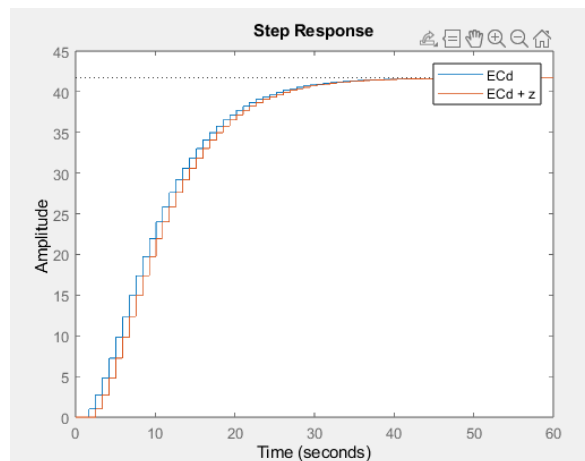
$$Z^1: -1 - A - BK_c z_1 z_2 - BK_c z_2 - BK_c z_1 = -0,8451 + 0,7142$$

$$Z^0: A + BK_c z_1 z_2 = 0$$

No gráfico ao lado se observa que a introdução de um Polo no zero da equação característica pouco altera a dinâmica da mesma.

Código utilizado para obtenção do gráfico:

```
37
38 EC_dz2 = z*(z - Pd1) * (z - Pd2)
39 step(1/EC_dz, 1/EC_dz2)
40 legend("ECd", "ECd + z")
41
```



Utilizando o matlab para resolução do sistema de equação se descobre que o mesmo não possui solução mesmo com as adaptações feitas:

```
42
43 %% calculo constantes do controlador
44 A = 0.9488; B = 0.2654;
45 syms Kc z1 z2;
46 eq4 = B*Kc == 1;
47 eq3 = 1 - B*Kc*z2 - B*Kc*z1 + B*Kc == -0.8451;
48 eq2 = -1 - A - B*Kc*z1*z2 - B*Kc*z2 - B*Kc*z1 == -0.8451 + 0.7142;
49 eq1 = A + B*Kc*z1*z2 == 0;
50 sol = (vpasolve([eq1;eq2;eq3;eq4]));
51 Kc = double(sol.Kc)
52 zc_1 = double(sol.z1)
53 zc_2 = double(sol.z2)
54
```

Kc =

0x1 empty double column vector

zc_1 =

0x1 empty double column vector

zc_2 =

0x1 empty double column vector



Se recorreu então a analisar o lugar das raízes e inferir/testar diferentes posições para os zeros do controlador, até que se chegou ao seguinte controlador que melhor se aproxima as especificações de desempenho pedidas:

```
55 |  
56 | %% Teste Controladores  
57 |  
58 | %z1 = 0.28 | z2 = 0.9  
59 | % kc = 0.4 -> ts = 28.6s ; Ovsh = 9.4  
60 | % kc = 0.5 -> ts = 25.2s ; Ovsh = 9.1  
61 | % kc = 0.6 -> ts = 22.7s ; Ovsh = 8.7  
62 | % kc = 0.7 -> ts = 20.2s ; Ovsh = 8.5  
63 | % kc = 0.9 -> ts = 17.6s ; Ovsh = 8.1  
64 | % kc = 1 -> ts = 15.9s ; Ovsh = 8.2  
65 |  
66 | %z1 = 0.1859 | z2 = 0.92  
67 | % Kc = 0.1 -> ts = 63.1 ; Ovsh = 4  
68 | % kc = 0.36 -> ts = 29.9s ; Ovsh = 5.9  
69 | % Kc = 0.8 -> ts = 15.9 ; Ovsh = 6.8  
70 | Kc = 0.8  
71 | C_z = Kc*( (z - 0.1859)*(z - 0.92) ) / ( z*(z - 1) )  
72 |  
73 | GC_z = Gma_z*C_z;  
74 | %rlocus(GC_z)  
75 |  
76 |  
77 | %% Calculado a FTMF resultante  
78 | GC_mf_z = feedback(GC_z, 1)  
79 | G_mf_z = feedback(Gma_z, 1);  
80 | step(GC_mf_z, G_mf_z)  
81 | legend("FTMF_CTRL", "FTMF")  
82 | control_step_result = stepinfo(GC_mf_z)  
83 | control_step_result.SettlingTime  
84 |
```

- Controlador:

$$C_z = \frac{0.8 (z-0.92) (z-0.1859)}{z (z-1)}$$

- Função de transferência de Malha fechada

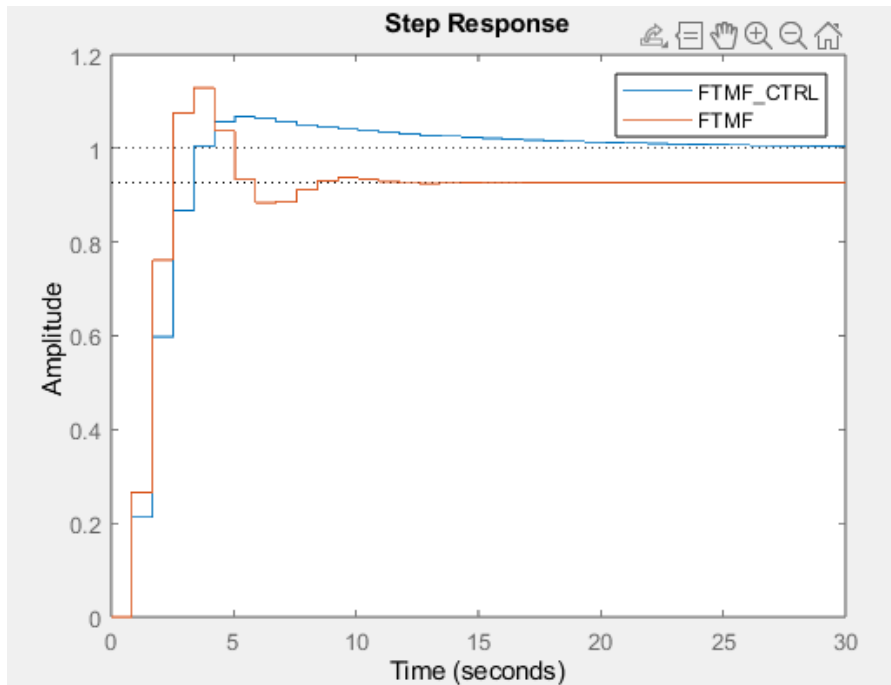
$$GC_{mf_z} = \frac{0.21237 (z-0.92) (z+1) (z-0.1859)}{(z-0.913) (z-0.186) (z^2 - 0.8233z + 0.2139)}$$



MINISTÉRIO DA EDUCAÇÃO
SECRETARIA DE EDUCAÇÃO PROFISSIONAL E TECNOLÓGICA
INSTITUTO FEDERAL DE EDUCAÇÃO, CIÊNCIA E TECNOLOGIA DO AMAZONAS
CAMPUS MANAUS - DISTRITO INDUSTRIAL



Resposta ao degrau e especificações de desempenho obtidas:

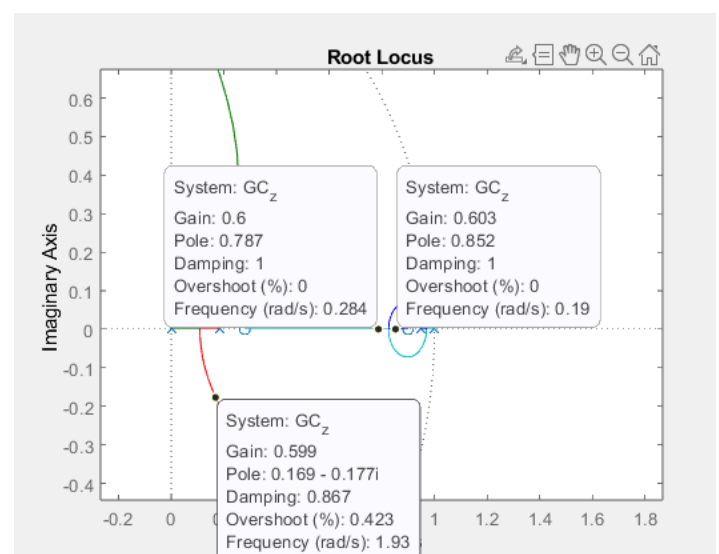
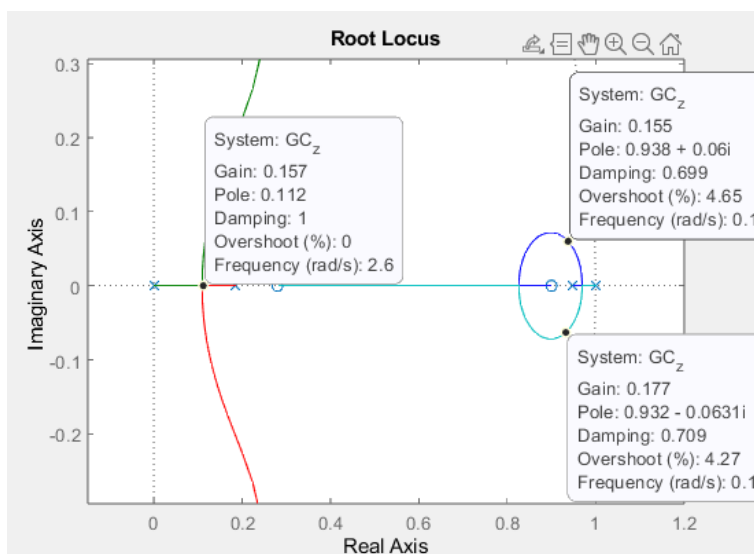


controlled_step_result =

struct with fields:

RiseTime: 2.5242
SettlingTime: 15.9864
SettlingMin: 1.0001
SettlingMax: 1.0684
Overshoot: 6.8382
Undershoot: 0
Peak: 1.0684
PeakTime: 5.0483

Observando o lugar das raízes de diferentes configurações:



Se observa que não será possível remover o overshoot apenas alterando a posição dos zeros pois ganhos que levam os polos não dominantes a permanecerem na reta real, os polos dominantes se



distanciam do polo desejado. Outro fator que contribui para a presença do overshoot é o zero dominantes, que acelera a resposta do sistema.

Uma forma de tentar eliminar o sobressinal é aplicando um filtro de referência que atenua a ação do zero dominante, pois este atua acelerando a resposta do sistema, atenuando seu efeito se espera que a resposta transitória do sistema atrase um pouco, mas que, em contrapartida, seja eliminado o sobressinal. O filtro de referência foi projetado a partir dos cálculos abaixo:

Filtro de referência
* zero que se deseja atenuar: 0,92

$$\therefore F_r(z) = \frac{a}{z - 0,92} \quad \left| \quad \lim_{z \rightarrow 1} F(z) = 1 \Rightarrow \lim_{z \rightarrow 1} \frac{a}{z - 0,92} = 1 \Rightarrow a = 0,08 \right.$$
$$\therefore F_r(z) = \frac{0,08}{z - 0,92} //$$

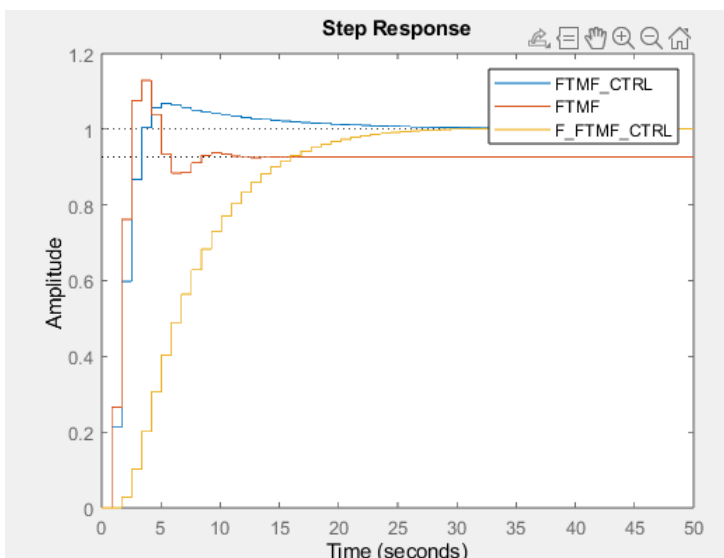
Teste da resposta do sistema com a implementação do filtro:

```
76  
77 %% Calculado a FTMF resultante  
78 GC_mf_z = feedback(GC_z, 1)  
79 G_mf_z = feedback(Gma_z, 1);  
80  
81 F_z = 0.08 / (z - 0.92);  
82 GCF_mf_z = F_z * feedback(GC_z, 1)  
83  
84 step(GC_mf_z, G_mf_z, GCF_mf_z)  
85 legend("FTMF_CTRL", "FTMF", "F_FTMF_CTRL")  
86 controlled_step_result = stepinfo(GC_mf_z)  
87 filtered_controlled_step_result = stepinfo(GCF_mf_z)  
88
```

filtered_controlled_step_result =

struct with fields:

RiseTime: 20.1934
SettlingTime: 38.7039
SettlingMin: 0.9012
SettlingMax: 1.0000
Overshoot: 0
Undershoot: 0
Peak: 1.0000
PeakTime: 100.1254



- O filtro projetado acima do zero acabou atrasando demais o sistema, então empiricamente se testou outros filtros até se encontrar um que melhor atendesse o desempenho desejado.



O melhor filtro encontrado foi:

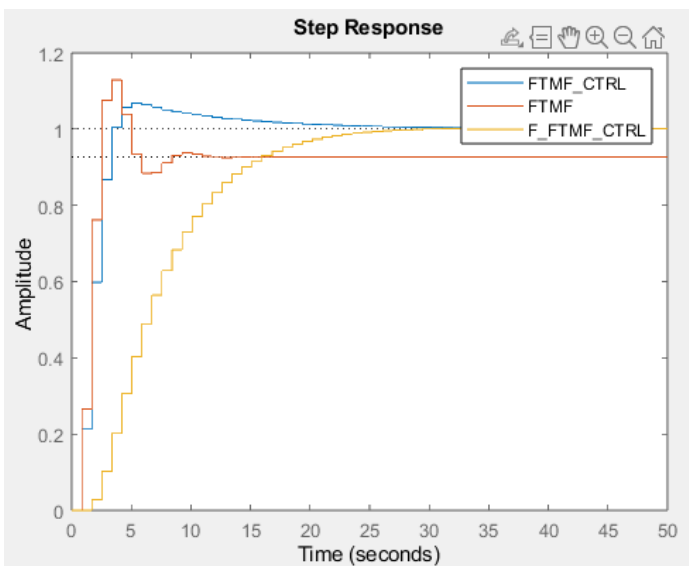
```
76  
77 %% Calculado a FTMF resultante  
78 GC_mf_z = feedback(GC_z, 1)  
79 G_mf_z = feedback(Gma_z, 1);  
80  
81 pos_filt = 0.87;  
82 F_z = (1-pos_filt) / (z - pos_filt)  
83 GCF_mf_z = F_z*feedback(GC_z, 1)  
84  
85 step(GC_mf_z, G_mf_z, GCF_mf_z)  
86 legend("FTMF_CTRL", "FTMF", "F_FTMF_CTRL")  
87 controlled_step_result = stepinfo(GC_mf_z)  
88 filtered_controlled_step_result = stepinfo(GCF_mf_z)  
89
```

F_z =

0.13

z - 0.87

Sample time: 0.84139 seconds
Discrete-time transfer function.



filtered_controlled_step_result =

struct with fields:

RiseTime: 11.7795
SettlingTime: 21.8761
SettlingMin: 0.9010
SettlingMax: 1.0021
Overshoot: 0.2126
Undershoot: 0
Peak: 1.0021
PeakTime: 37.0212

Apesar de não ter anulado o overshoot, chegou bem próximo, em menos em 1%, e no tempo de assentamento objetivado.



- c) Utilizando o diagrama polo-zero ($Y(z)/R(z)$ e $Y(z)/Q(z)$) e as respostas temporais, compare os dois controladores. O sistema segue referências? Por que? O que houve com o distúrbio? A resposta ao distúrbio tem a mesma dinâmica que a resposta a mudanças de referência? Alguma resposta apresenta pico? É possível, com estes ajustes, a resposta à referência não ter pico e a velocidade da rejeição de distúrbio ser 3 vezes mais rápida que a resposta em MA?

As funções de transferência de malha fechada em relação a referência foram obtidas através dos códigos demonstrados previamente, para obtenção das FTs em relação ao distúrbio, se fez os calculos apresentados abaixo:

Planta: $G(z) = \frac{0,26547(z+1)}{(z-0,1859)(z-0,9488)}$

Controlador 1 PI $C_1(z) = \frac{0,208(z-0,9488)}{(z-1)}$

Controlador 2 PID $C_2(z) = \frac{0,8(z-0,92)(z-0,1859)}{z(z-1)}$

FTMF $y(z)/R(z) \left[\frac{y(z)}{R(z)} = \frac{C(z)G(z)}{1+C(z)G(z)} \right] \Rightarrow \left[\frac{y(z)}{R(z)} = \frac{N_c N_g}{D_c D_g + N_c N_g} \right]$

* Controlador 1 [PI]

$$\frac{y_1(z)}{R(z)} = \frac{0,0552(z+1)}{(z-0,2851)(z-0,8455)}$$

* Controlador 2 [PID]

$$\frac{y_2(z)}{R(z)} = \frac{0,2123(z-0,92)(z+1)(z-0,1859)}{(z-0,913)(z-0,185)(z^2-0,8233z+0,2739)}$$

FTMF $y(z)/Q(z) \left[\frac{y(z)}{Q(z)} = \frac{G(z)}{1+C(z)G(z)} \right] \Rightarrow \left[\frac{y(z)}{Q(z)} = \frac{N_g D_c}{D_g D_c + N_c N_g} \right]$

* Controlador 1 [PI]

$$\frac{y_1(z)}{Q(z)} = \frac{0,26547(z+1) \cdot (z-1)}{(z-0,1859)(z-0,9488)(z-1) + 0,208(z-0,9488) \cdot 0,26547(z+1)}$$

* Controlador 2 [PID]

$$\frac{y_2(z)}{Q(z)} = \frac{0,26547(z+1) \cdot z(z-1)}{(z-0,1859)(z-0,9488) \cdot z(z-1) + 0,26547(z+1) \cdot 0,8(z-0,92)(z-0,1859)}$$



MINISTÉRIO DA EDUCAÇÃO
SECRETARIA DE EDUCAÇÃO PROFISSIONAL E TECNOLÓGICA
INSTITUTO FEDERAL DE EDUCAÇÃO, CIÊNCIA E TECNOLOGIA DO AMAPÁ
CAMPUS MANAUS - DISTRITO INDUSTRIAL

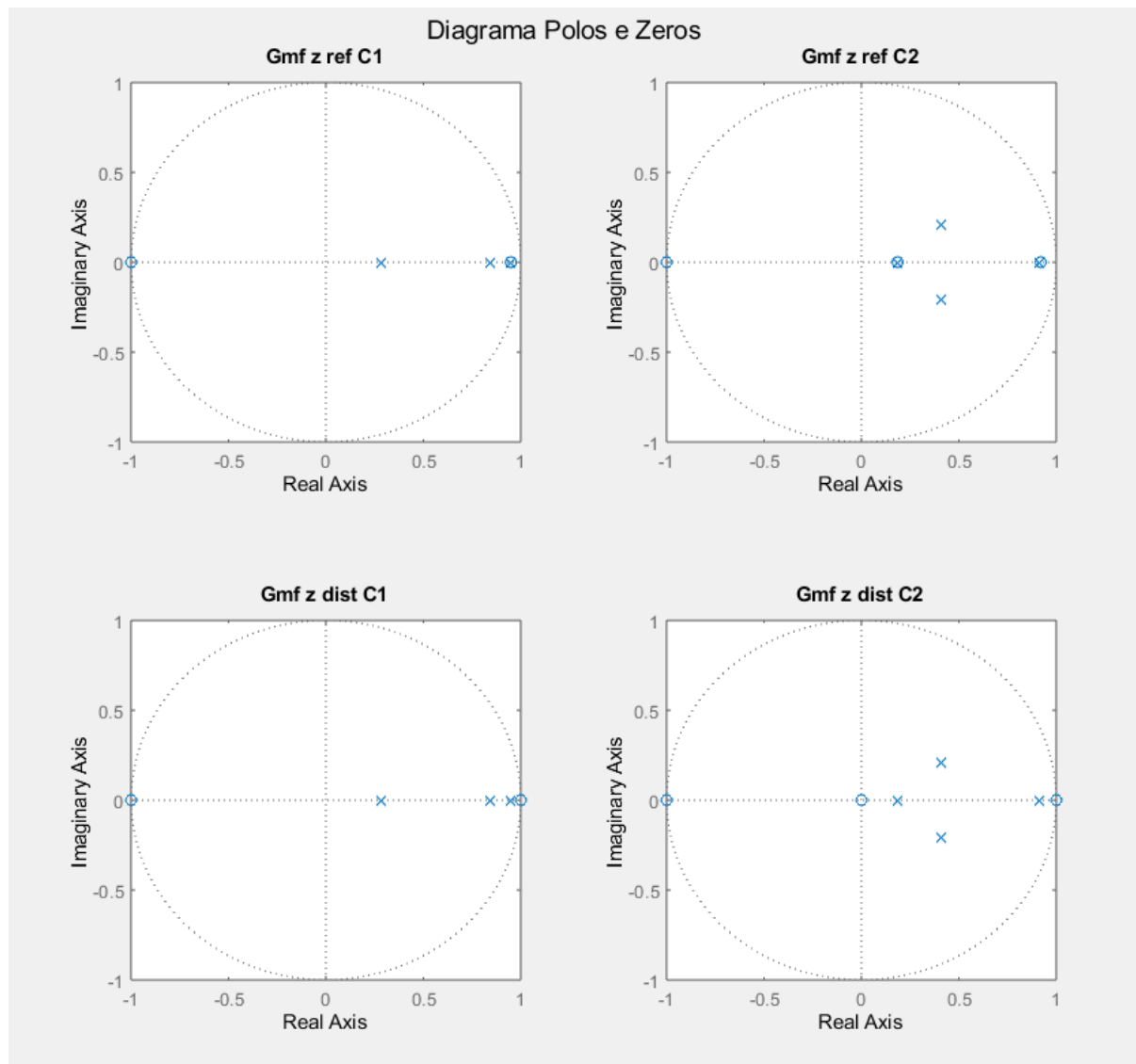


Então se utilizou o código abaixo para verificar os diagramas de polos e zeros:

```
1 - clc; clear all;
2
3 %% FT Planta
4 - s=tf('s');
5 - Gma = zpk((0.95*13.4) / ((0.5*s + 1)*(16*s + 1)))
6
7
8 %% Ts
9 - step_result = stepinfo(Gma);
10 - tsd = step_result.SettlingTime/3
11 - Ts = tsd/25 %0.76s
12
13
14 %% discretização com casamento de polos e zeros:
15 - Gma_z = c2d(Gma, Ts, 'matched')
16
17
18 %% Controladores
19 - z = tf('z', Ts);
20
21 % controlador 1 [PI]
22 - C_z_1 = zpk(0.208*(z - 0.9488) / (z - 1))
23
24 % controlador 2 [PID]
25 - C_z_2 = zpk(0.8*(z - 0.92)*(z - 0.1859) / (z*(z - 1)))
26
27
28 %% FTMFs / ref
29 - Gmf_z_ref_C1 = feedback(minreal(Gma_z*C_z_1), 1);
30 - Gmf_z_ref_C2 = feedback(minreal(Gma_z*C_z_2), 1);
31
32 %% FTMFs / Dist.
33 - Gmf_z_dist_C1 = (0.26547*(z+1)*(z-1)) / ((z-1)*(z-0.9488)*(z-0.1859) + 0.05521*(z-0.9488)*(z+1));
34 - zpk(Gmf_z_dist_C1)
35
36 - Gmf_z_dist_C2 = (0.26547*z*(z+1)*(z-1)) / (z*(z-1)*(z-0.9488)*(z-0.1859) + 0.2123*(z-0.1859)*(z-0.92)*(z+1));
37 - zpk(Gmf_z_dist_C2)
38
39 - figure(1)
40 - subplot(2,2,1)
41 - pzmap(Gmf_z_ref_C1)
42 - title('Gmf z ref C1')
43 - %figure;
44 - subplot(2,2,2)
45 - pzmap(Gmf_z_ref_C2)
46 - title('Gmf z ref C2')
47 - %figure;
48 - subplot(2,2,3)
49 - pzmap(Gmf_z_dist_C1)
50 - title('Gmf z dist C1')
51 - %figure;
52 - subplot(2,2,4)
53 - pzmap(Gmf_z_dist_C2)
54 - title('Gmf z dist C2')
55
56 - satitle('Diagrama Polos e Zeros')
```




E se obteve o diagrama de polos e zeros:



O resultado dos polos e zeros estão dentro do observado nas questões anteriores, o controlador PID não consegue anular o overshoot sem a utilização do filtro, como previsto um dos pares de polos acabam possuindo parte complexa e consequentemente um pequeno overshoot. Quanto ao mapa do distúrbio, se observa que para ambos os controladores, polos que eram cancelados por zeros passam a não mais ser cancelados voltando a ter influência na dinâmica do sistema, não apenas isto como os zeros passam a se localizar em cima do círculo unitário, acelerando a dinâmica do sistema em relação a resposta ao distúrbio, refletindo no alto overshoot.



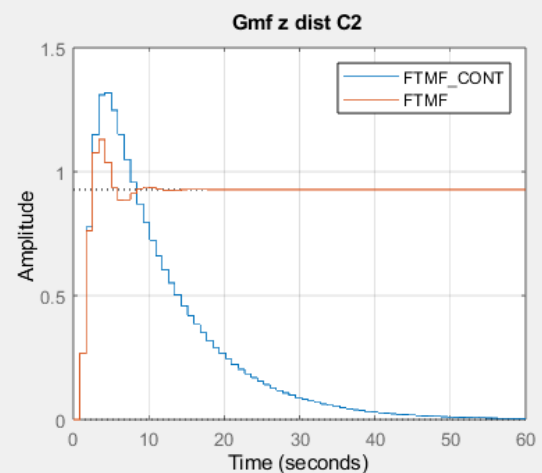
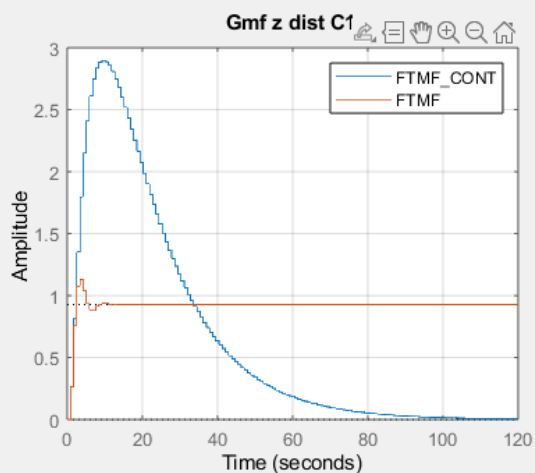
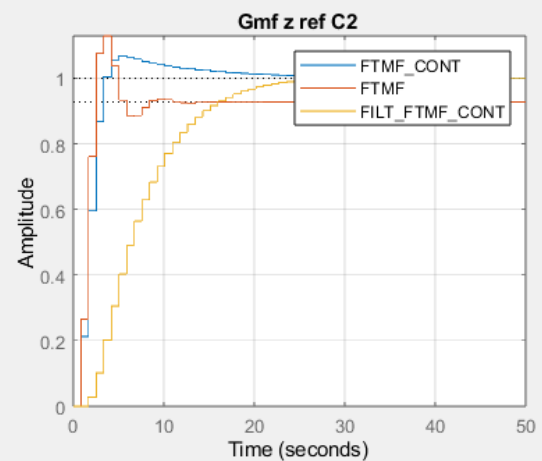
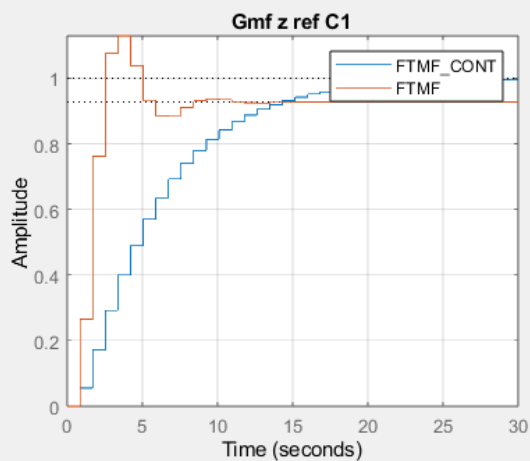
MINISTÉRIO DA EDUCAÇÃO
SECRETARIA DE EDUCAÇÃO PROFISSIONAL E TECNOLÓGICA
INSTITUTO FEDERAL DE EDUCAÇÃO, CIÊNCIA E TECNOLOGIA DO AMAZONAS
CAMPUS MANAUS - DISTRITO INDUSTRIAL



Em seguida, se utilizou o código abaixo para verificação das respostas do distúrbio:

```
57  
58 %% Reposta ao degrau com filtro de referência  
59 pos_pf2 = 0.87;  
60 F_C2 = (1 - pos_pf2) / (z - pos_pf2)  
61  
62 f_Gmf_z_ref_C2 = F_C2*Gmf_z_ref_C2;  
63  
64 figure(1)  
65 subplot(2,2,1)  
66 step(Gmf_z_ref_C1, feedback(Gma_z,1))  
67 legend('FTMF_CONT', 'FTMF')  
68 title('Gmf z ref C1')  
69 grid on; box on;  
70 si_c1 = stepinfo(Gmf_z_ref_C1)  
71  
72 subplot(2,2,2)  
73 step(Gmf_z_ref_C2, feedback(Gma_z,1), f_Gmf_z_ref_C2)  
74 legend('FTMF_CONT', 'FTMF', 'FILT_FTMF_CONT')  
75 title('Gmf z ref C2')  
76 grid on; box on;  
77 si_c2 = stepinfo(Gmf_z_ref_C2)  
78 si_fc2 = stepinfo(f_Gmf_z_ref_C2)  
79  
80 subplot(2,2,3)  
81 step(Gmf_z_dist_C1, feedback(Gma_z,1))  
82 legend('FTMF_CONT', 'FTMF')  
83 title('Gmf z dist C1')  
84 grid on; box on;  
85  
86 subplot(2,2,4)  
87 step(Gmf_z_dist_C2, feedback(Gma_z,1))  
88 legend('FTMF_CONT', 'FTMF')  
89 title('Gmf z dist C2')  
90 grid on; box on;  
91  
92 sgtitle('Respostas ao degrau')  
93
```

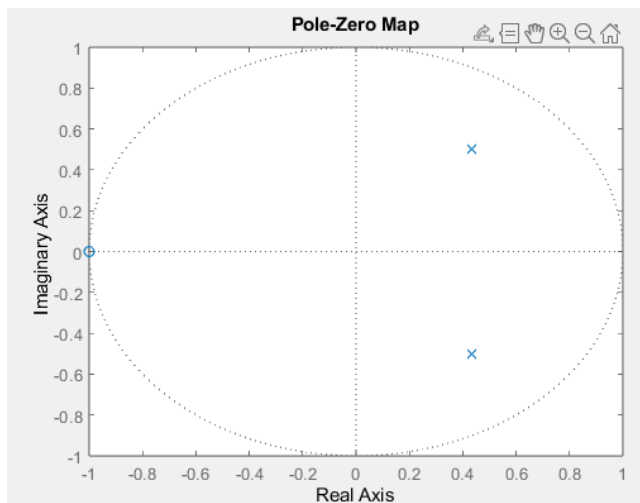
Respostas ao degrau





De modo geral, os controladores tenderam a atrasar o fim da resposta transiente dos sistemas, porém permitiram as mesmas seguirem a referência proposta, e, no caso do controlador PI, remover o overshoot. Em relação ao distúrbio, ambos os controladores conseguiram rejeitar o efeito do distúrbio, isso se deve aos polos próximos do círculo unitário que agem como um integrador (zerando o erro em estado estacionário), observáveis no diagrama de polos e zeros da resposta ao distúrbio, ditos polos deixam de serem cancelados pelos zeros na resposta ao distúrbio.

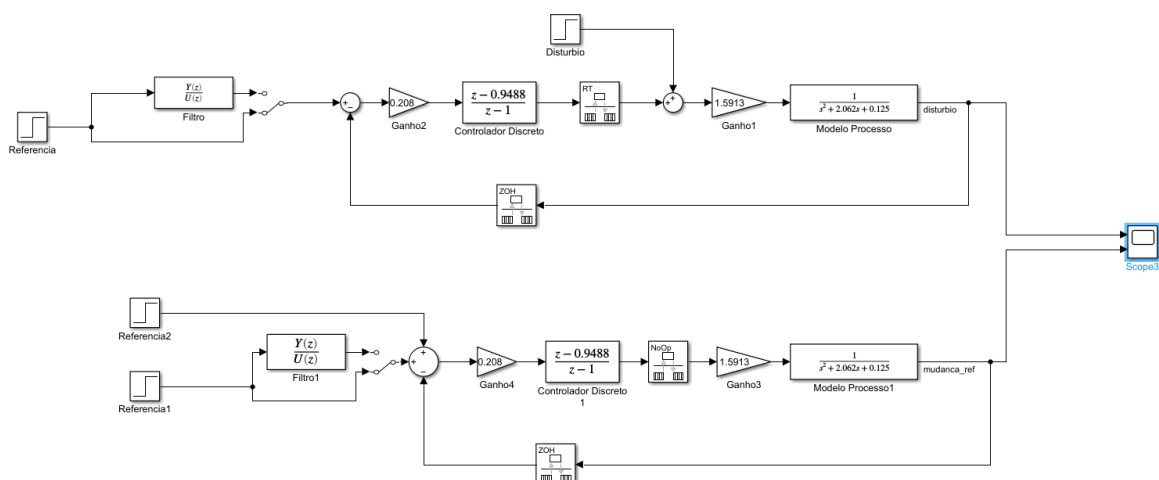
Toda via, se observa também que o controlador amplifica o pico das resposta ao distúrbio, se analisa então o diagrama de polos e zeros do sistema de malha fechada sem controlador, que vem a ser o mesmo diagrama de polos e zeros do sistema de malha fechada em relação ao distúrbio:



A ausência de polos mais lentos (próximos ao círculo unitário) explica a rapidez do sistema para sair da resposta transitória, porém a ausência de polos próximos do círculo unitário impede que o mesmo siga referências. O alto pico do distúrbio dos sistemas controlados pode ser atribuído a presença de múltiplos zeros dominantes que aceleram a resposta do sistema.

“A resposta ao distúrbio tem a mesma dinâmica que a resposta a mudanças de referência?” Não, diferente da resposta a mudança de referência, o distúrbio apenas é afetado pela ação do controlador depois de o sistema ser realimentado pelo erro. Enquanto a resposta a mudança de referência é tratada imediatamente pela ação do controlador.

Para verificação dessas duas situações se fez o seguinte modelo de simulação do primeiro controlador PI na ferramenta simulink:

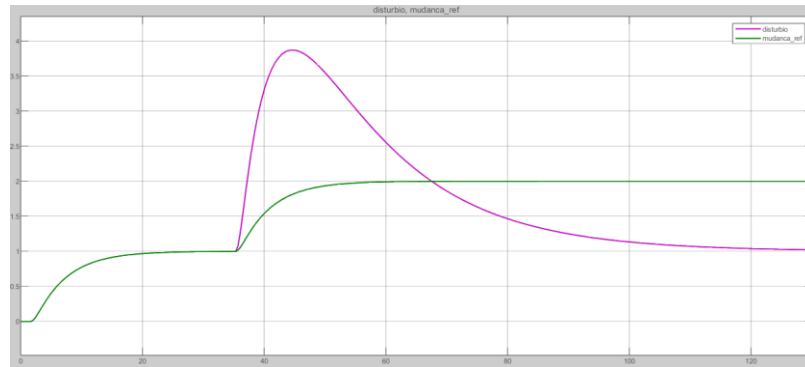




MINISTÉRIO DA EDUCAÇÃO
SECRETARIA DE EDUCAÇÃO PROFISSIONAL E TECNOLÓGICA
INSTITUTO FEDERAL DE EDUCAÇÃO, CIÊNCIA E TECNOLOGIA DO AMAPÁ
CAMPUS MANAUS - DISTRITO INDUSTRIAL

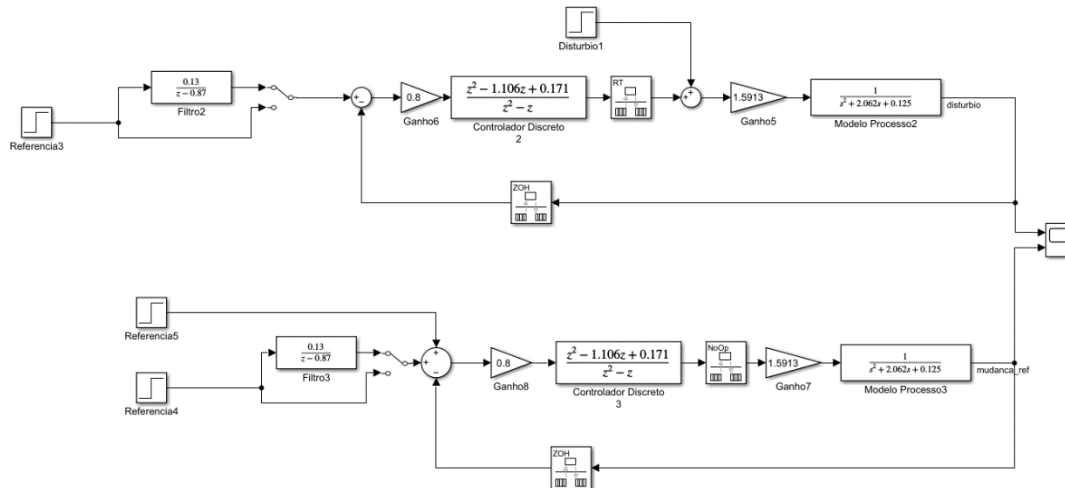


A partir do qual se obteve as respostas:

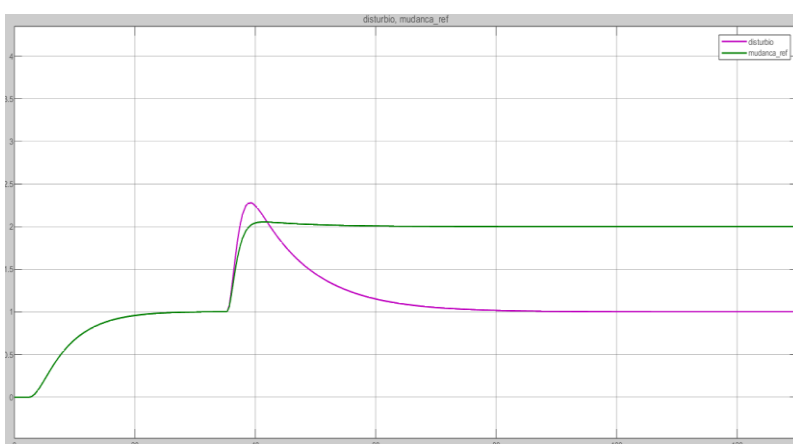


Se observa que o distúrbio segue referência, mas possui um enorme sobressinal e tem um tempo de assentamento ainda maior que o sistema de malha aberta.

Para o controlador PID se utilizou o seguinte modelo de simulação:



A partir do qual se obteve a resposta:



Como observado anteriormente, o controlador PID não apenas segue referência como possui um sobressinal consideravelmente menor, além de retornar a referência mais rapido. Não se analisa, em ambos os controladores, a ação do filtro de referência porque este não tem efeito sobre o distúrbio.



3. (Projeto L.G.R.)

- Ajuste um controlador PID discreto por L.G.R. tal que a resposta do sistema para referência e de rejeição de distúrbio, em malha-fechada (MF), tenha tempo de assentamento menor que 19 segundos e sobressinal menor que 20%.
- Mostre o projeto e o Lugar das Raízes e especifique os detalhes e todas as etapas de projeto. Mostre os somatórios de fase e justifique o posicionamento dos zeros e dos polos do controlador projetado.

Inicialmente se calculou o tempo de amostragem e então se discretizou a planta:

1	—	<code>clc; clear all;</code>			
2					
3	—	<code>S = tf('s');</code>			
4	—	<code>Gma = zpk((1.59) / ((S + 2)*(S + 0.0625)))</code>			
5					
6	—	<code>tsd = 19;</code>			
7	—	<code>Mp = 0.2;</code>			
8					
9	—	<code>zeta = sqrt((log(Mp)^2) / (pi^2 + log(Mp)^2))</code>			
10	—	<code>wn = 4 / (zeta*tsd)</code>			
11					
12		<code>%Ts = 2*pi/(wn*30) %0.4536</code>			
13		<code>% resultou em polo bem alto (>0.97)</code>			
14	—	<code>Ts = tsd/25 %0.76</code>			
15					
16	—	<code>Gma_z = c2d(Gma, Ts, 'matched')</code>			
17					

$G_{ma} =$	
$\frac{1.59}{(s+2)(s+0.0625)}$	
Continuous-time zero/pole/gain model.	
$T_s =$	
0.7600	
$G_{ma_z} =$	
$\frac{0.23051(z+1)}{(z-0.2187)(z-0.9536)}$	
Sample time: 0.76 seconds	
Discrete-time zero/pole/gain model.	

$zeta =$
0.4559
$wn =$
0.4617

Foram calculadas também as constantes da EC desejada a partir das especificações de desempenhos passadas, estas serão utilizadas para calcular os polos dominantes desejados, estes serão a base para o projeto do controlador. Poderia se calcular o tempo de amostragem a partir da frequência natural do sistema obtida, porém, a mesma resultou em um polo discreto muito próximo do círculo unitário, indicando uma frequência de amostragem muito alto.



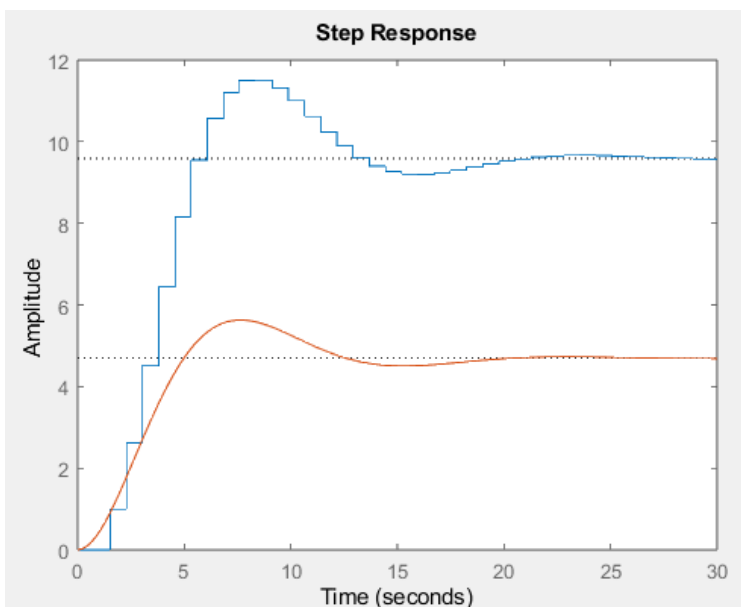
Para cálculo dos polos dominantes desejados, se utilizou o seguinte código abaixo:

```
18  
19 %% Calculo dos polos desejados  
20 j = sqrt(-1);  
21 real_pd = wn*zeta;  
22 cml_pd = j*wn*sqrt(1-zeta^2);  
23  
24 Pd1 = real_pd + cml_pd  
25 Pd2 = real_pd -1*cml_pd  
26  
27 Pd1 = exp(Ts*(-real_pd + cml_pd))  
28 Pd2 = exp(Ts*(-real_pd - cml_pd))  
29  
30 Z = tf('z', Ts)  
31 model_controler = 1 / ( (S + Pd1)*(S + Pd2) );  
32 model_controler_z = 1 / ( (Z - Pd1)*(Z - Pd2) );  
33  
34 stepinfo(model_controler)  
35 stepinfo(model_controler_z)  
36  
37 step(model_controler_z)  
38 hold on  
39 step(model_controler)  
40 hold off  
41
```

De onde se obteve:

```
Pd1 =  
  
0.2105 + 0.4109i  
  
Pd2 =  
  
0.2105 - 0.4109i  
  
Pd1 =  
  
0.8109 + 0.2618i  
  
Pd2 =  
  
0.8109 - 0.2618i
```

Resposta da equação característica desejada:



Desempenho da EC desejada:

```
ans =  
  
struct with fields:  
  
RiseTime: 3.8000  
SettlingTime: 19  
SettlingMin: 9.2012  
SettlingMax: 11.5107  
Overshoot: 20.0658  
Undershoot: 0  
Peak: 11.5107  
PeakTime: 8.3600
```



Sabendo os polos dominantes desejados, será utilizada a condição de fase para cálculo da posição dos zeros do controlador. Esta diz que a contribuição de fase de cada polo e zero da planta e do controlador deve resultar em -180° , tendo dois zeros para determinar a posição, se assume que cada um tem a mesma contribuição de fase para possibilitar a resolução da equação. Sabendo a contribuição de fase de cada zero do controlador em relação aos polos desejados, é possível, a partir de trigonometria, calcular a posição destes na reta real. O código abaixo foi utilizado para cálculo da contribuição de fase de cada polo/zero:

```
93  
94 %% Função para calculo da contribuição de fase  
95 function phase = phase(sys,x,units)  
96 if nargin < 3 || isempty(units)  
97     units = 'deg';  
98 end  
99  
100 phase = atan2d(imag(evalfr(sys,x)),real(evalfr(sys,x)));  
101  
102 if strcmpi(units,'rad')  
103     phase = phase*(pi/180);  
104 end  
105 end
```

```
41  
42 %% Cálculo contribuições de fase  
43  
44 teta_pd = -pi; % -180° da condição de fase  
45  
46 % é dada a entrada manual nos zeros do sistema G*C  
47 zeros = [-1];  
48 cont_zeros = [];  
49 if ~ isempty(zeros)  
50 for ind = 1:length(zeros)  
51     zero_phase = phase(zpk([zeros(ind)],[],1), Pdz1, 'rad');  
52     cont_zeros = [cont_zeros, rad2deg(zero_phase)];  
53     teta_pd = teta_pd - zero_phase;  
54 end  
55 end  
56  
57 % é dada a entrada manual nos polos do sistema G*C  
58 poles = [0.2187 0.9536 0 1]; % Ts = 0.76  
59 cont_polos = [];  
60 if ~ isempty(poles)  
61 for ind = 1:length(poles)  
62     pole_phase = phase(zpk([],poles(ind)),1, Pdz1, 'rad');  
63     cont_polos = [cont_polos, rad2deg(pole_phase)];  
64     teta_pd = teta_pd - pole_phase;  
65 end  
66 end  
67
```



MINISTÉRIO DA EDUCAÇÃO
SECRETARIA DE EDUCAÇÃO PROFISSIONAL E TECNOLÓGICA
INSTITUTO FEDERAL DE EDUCAÇÃO, CIÊNCIA E TECNOLOGIA DO AMAPÁ
CAMPUS MANAUS - DISTRITO INDUSTRIAL



INSTITUTO FEDERAL
AMAPÁ
 Campus Manaus-Distrito Industrial

Além do código foi feito os cálculos manualmente para validar os resultados obtidos:

* Verificação contribuição de fase polo e zero.

$$G(z) = \frac{0,23051(z+1)}{(z-0,2187)(z-0,9536)} \quad C(z) = \frac{K_c(z-z_1)(z-z_2)}{z(z-1)} \quad P.Dz = 0,8109 \pm 0,2618j$$

linha zero: $-1, z_1, z_2$
 linha polo: $0,2187, 0,9536, 0, +1$

C.F.: $\varphi_p + \varphi_{c1} + \varphi_{c2} - \theta_{r1} - \theta_{r2} - \theta_{c1} - \theta_{c2} = -180^\circ$
 $\varphi_{c1} + \varphi_{c2} = -180^\circ - \varphi_p + \theta_{r1} + \theta_{r2} + \theta_{c1} + \theta_{c2}$

$\varphi_p = \tan^{-1}\left(\frac{0,2618}{0,8109}\right) = 8,2262^\circ$

$\theta_{r1} = \tan^{-1}\left(\frac{0,2618}{0,8109-0,2187}\right) = 23,8492^\circ$


$\theta_{r2} = 180^\circ - \tan^{-1}\left(\frac{0,2618}{0,9536-0,8109}\right) = 118,5936^\circ$

$\theta_{c1} = \tan^{-1}\left(\frac{0,2618}{0,8109}\right) = 17,8927^\circ$

$\theta_{c2} = 180^\circ - \tan^{-1}\left(\frac{0,2618}{1-0,8109}\right) = 125,8408^\circ$

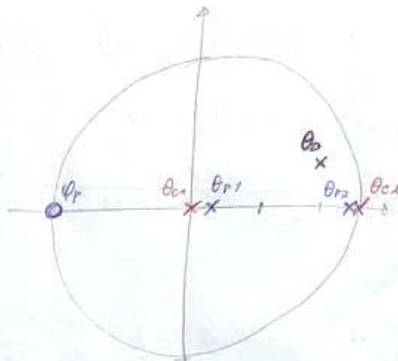
$\varphi_{c1} + \varphi_{c2} = -180^\circ - 8,2262^\circ + 23,8492^\circ + 118,5936^\circ + 17,8927^\circ + 125,8408^\circ$
 $\varphi_{c1} + \varphi_{c2} = 97,9501$

* Se $\varphi_{c1} = \varphi_{c2} \Rightarrow 2\varphi_c = 97,9501 \Rightarrow \varphi_c = 97,9501/2 = 48,975^\circ$

 $0,2618 \Rightarrow x = \frac{0,2618}{\tan(48,975^\circ)} = 0,2277 \quad \therefore z_c = 0,8109 - 0,2277 = 0,5832$

* Se $\varphi_{c1} = 2\varphi_{c2} \Rightarrow 2\varphi_{c2} + \varphi_{c2} = 97,9501 \quad \varphi_{c1} + 32,65 = 97,9501$
 $\varphi_{c2} = 97,9501/3 = 32,65^\circ \quad \varphi_{c1} = 97,9501 - 32,65$
 $\varphi_c = 65,3^\circ$

$\therefore z_{c1} = \frac{0,2618}{\tan(32,65^\circ)} = -0,4085 + 0,8109j \quad z_{c2} = 0,8109 - \frac{0,2618}{\tan(65,3^\circ)} = 0,6904$
 $z_{c1} = 0,4024$





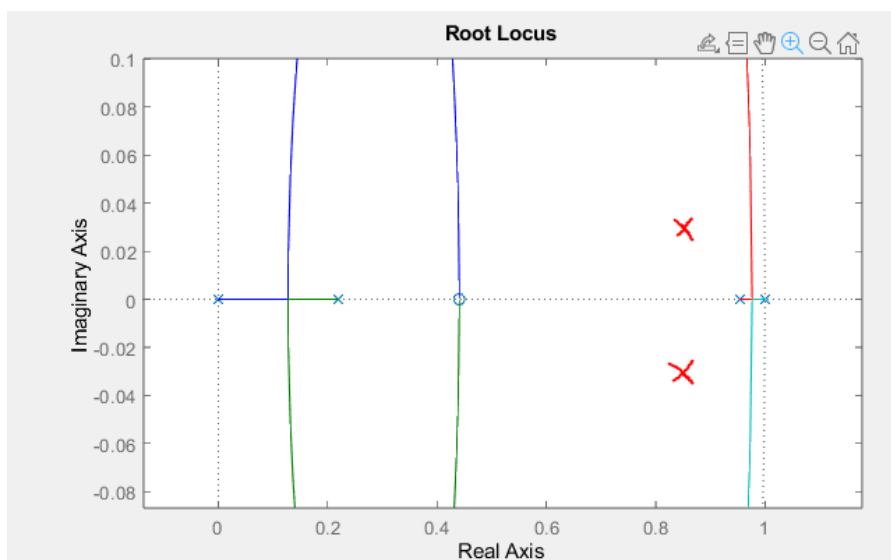
MINISTÉRIO DA EDUCAÇÃO
SECRETARIA DE EDUCAÇÃO PROFISSIONAL E TECNOLÓGICA
INSTITUTO FEDERAL DE EDUCAÇÃO, CIÊNCIA E TECNOLOGIA DO AMAPÁ
CAMPUS MANAUS - DISTRITO INDUSTRIAL



Os resultados obtidos via matlab correspondem aos obtidos pelos cálculos manuais.

```
cont_polos =  
-23.8512 -118.5870 -17.8944 -125.8344  
  
>> cont_zeros  
  
cont_zeros =  
  
8.2271  
  
>> rad2deg(teta_pd)  
  
ans =  
  
97.9400
```

Adicionalmente, a posição dos zeros obtida pela condição de fase não foi satisfatória, pelo lugar das raízes se observa que o zero calculado se encontra muito distante dos polos desejados, fazendo que o lugar das raízes não passe próximo do mesmo. Desta forma, nenhum ganho fará com que se obtenha a resposta desejada.



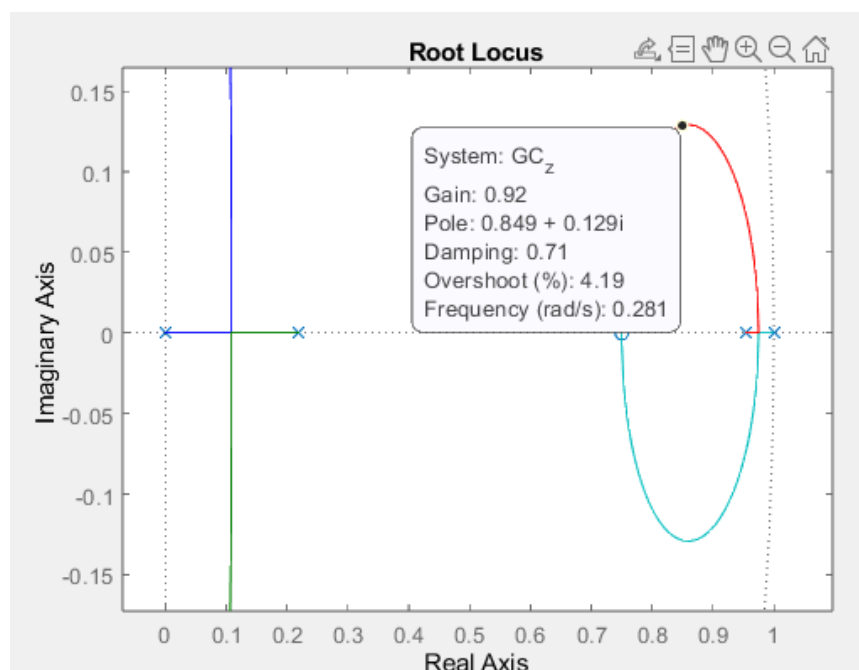
Os x's desenhados representam aproximadamente a posição desejada dos polos dominantes. Portanto, para que o sistema atinja as especificações desejadas tentou-se alterar a distribuição da contribuição de fase de cada zero do controlador, de forma que um deles se aproxime mais dos polos desejados e, portanto, 'puxe' o lugar das raízes para mais próximo destes. Porém, como observável



abaixo, isto não foi o suficiente pois quanto mais se aproximava um zero do Polos dominantes desejados, o outro zero era afastado atrapalhando a dinâmica do sistema:

```
67  
68 %% Dividindo igualmente a contribuição de fase de ambos os zeros do controlador:  
69 % teta_pd = teta_pd/2;  
70 % z1 = real(Pdz1) - (imag(Pdz1)/tan(teta_pd))  
71 % z2 = real(Pdz1) - (imag(Pdz1)/tan(teta_pd));  
72  
73 %% Dividindo assimetricamente contribuição de fase:  
74 %perc = 0.9; % 0.8024 ; -0.70 => ts = 28.2 | Mp = 46.3  
75 %perc = 0.8; % 0.7569 ; 0.1436 => ts = 17.4 | Mp = 40.9  
76 %perc = 0.7; % 0.7081 ; 0.3459 => ts = 16.7 | Mp = 37.2  
77 %perc = 0.6; % 0.6521 ; 0.4896 => ts = 16.7 | Mp = 34.4  
78 %perc = 0.5; % 0.5831 ; 0.5831 => ts = 16.7 | Mp = 33.5 % o mesmo que igualar os zeros  
79 % abaixo de 0.5 irá repetir os casos anteriores  
80 % perc = 0.4;  
81 % z1 = real(Pdz1) - (imag(Pdz1)/tan(teta_pd*perc))  
82 % z2 = real(Pdz1) - (imag(Pdz1)/tan(teta_pd*(1-perc)))  
83
```

Apesar de facilmente se obter um tempo de assentamento satisfatório, nenhuma distribuição da contribuição de fase atendeu o sobressinal solicitado. Então, para que se atendessem as especificações de desempenho se ignorou a condição de fase e foi alterada a posição de ambos os zeros para 0.75, pois dessa forma o lugar das raízes se aproxima muito mais dos polos desejados, como observado pelo LGR abaixo:





MINISTÉRIO DA EDUCAÇÃO
SECRETARIA DE EDUCAÇÃO PROFISSIONAL E TECNOLÓGICA
INSTITUTO FEDERAL DE EDUCAÇÃO, CIÊNCIA E TECNOLOGIA DO AMAPÁ
CAMPUS MANAUS - DISTRITO INDUSTRIAL



De posse então da posição dos zeros desejados, se calcula qual o ganho do controlador K_c que irá levar os polos dominantes para próximo dos polos desejados através da condição do módulo, isto é, o ganho do controlador não deve alterar a resposta do sistema, ou seja, o módulo do controlador vezes a planta em relação ao polo desejado deve ser igual a um. Havendo apenas o ganho do controlador como variável, é possível calcular o módulo de cada zero e polo da planta e do controlador e resolver a equação isolando K_c . No matlab é possível fazer este cálculo invertendo a planta e o controlador, e calculando o módulo da multiplicação de ambos, como no código apresentado abaixo:

```
83  
84 %% Cálculo condição de ganho  
85 - z1 = 0.75; z2 = 0.75;  
86 - C_z = ((Z - z1)*(Z - z2))/(Z*(Z-1))  
87 - INV = C_z^(-1) * Gma_z^(-1);  
88 - Kc = norm(evalfr(INV,Pdz1))  
89 - C_z = zpk(Kc*C_z)  
90
```

Kc =

1.7433

De onde se obtém K_c igual a 1.7433. E, com o ganho do controlador e a posição dos zeros, o controlador está completo, basta então verificar o desempenho do mesmo, apresentado a seguir:

```
91  
92 %% Verificação desempenho do controlador  
93 - GC_z = zpk(C_z*Gma_z)  
94 - GC_mf_z = feedback(GC_z, 1)  
95 - G_mf_z = feedback(Gma_z, 1);  
96  
97 %figure(1)  
98 %subplot(1,2,1)  
99 %rlocus(GC_z)  
100  
101 %subplot(1,2,2)  
102 - step(GC_mf_z, G_mf_z)  
103 - legend("FTMF_CTRL", "FTMF")  
104  
105 - stepinfo(GC_mf_z)
```

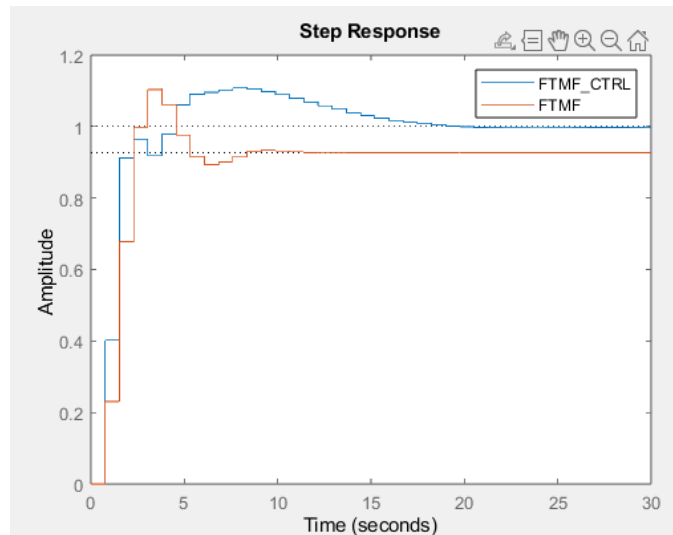
ans =

struct with fields:

RiseTime: 0.7600
SettlingTime: 15.9600
SettlingMin: 0.9124
SettlingMax: 1.1081
Overshoot: 10.8056
Undershoot: 0
Peak: 1.1081
PeakTime: 7.6000



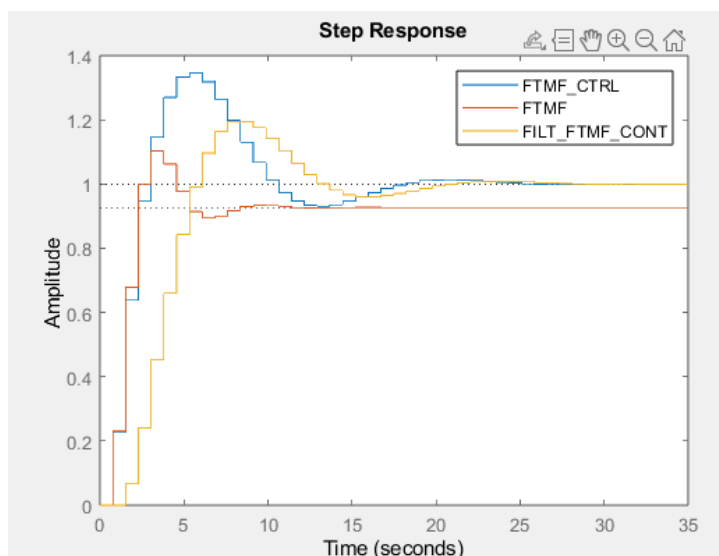
Gráfico da resposta ao degrau:



As especificações de desempenho pedidas foram atendidas com o ajuste necessário dos zeros.

Uma outra forma de melhorar a resposta do sistema é com um filtro de referência, invés de fazer a alteração dos zeros ignorando as contribuições de fase. Utilizando a distribuição da contribuição da fase de 6:4, e aplicando um filtro que acrescenta mais um polo dominante para atraso do sistema, se obtém a seguinte dinâmica:

```
107  
108 %% Teste resposta com filtro de referência  
109 %pzmap(GC_mf_z)  
110 %pos_pf1 = 0.652; %zero dominante da MF  
111 % ts = 19s | Mp = 23.26  
112 pos_pf1 = 0.7;  
113 % ts = 19s | Mp = 19.5  
114 z = tf('z', Ts);  
115 F_z = (1 - pos_pf1)/(z - pos_pf1)  
116  
117 f_GC_mf_z = F_z*GC_mf_z;  
118 step(GC_mf_z, G_mf_z, f_GC_mf_z);  
119 legend("FTMF_CTRL", "FTMF", "FILT_FTMF_CONT")  
120  
121 si_f_GC_mf_z = stepinfo(f_GC_mf_z)  
122
```



si_f_GC_mf_z =

struct with fields:

RiseTime: 3.0400
SettlingTime: 19
SettlingMin: 0.9602
SettlingMax: 1.1952
Overshoot: 19.5159
Undershoot: 0
Peak: 1.1952
PeakTime: 8.3600



MINISTÉRIO DA EDUCAÇÃO
SECRETARIA DE EDUCAÇÃO PROFISSIONAL E TECNOLÓGICA
INSTITUTO FEDERAL DE EDUCAÇÃO, CIÊNCIA E TECNOLOGIA DO AMAZONAS
CAMPUS MANAUS - DISTRITO INDUSTRIAL



- c) Utilizando o diagrama polo-zero ($Y(z)/R(z)$ e $Y(z)/Q(z)$), discuta e conclua (previsão) do comportamento do domínio do tempo do sistema. Está aceitável? Como poderíamos melhorá-la?

Abaixo foi feito o cálculo da resposta ao distúrbio:

$$C(z) = \frac{1,7433(z-0,75)^2}{z(z-1)} \quad G(z) = \frac{0,23051(z+1)}{(z-0,2187)(z-0,9536)}$$
$$\#FTMF \quad y(z)/R(z) \left[\frac{y(z)}{R(z)} = \frac{N_c N_g}{D_c D_g + N_c N_g} \right]$$
$$\frac{y(z)}{R(z)} = \frac{0,4018(z-0,75)^2(z+1)}{z(z-1)(z-0,2187)(z-0,9536) + 0,4018(z-0,75)^2(z+1)}$$
$$\#FTMF \quad y(z)/Q(z) \left[\frac{y(z)}{Q(z)} = \frac{N_g D_c}{D_c D_g + N_c N_g} \right]$$
$$\frac{y(z)}{Q(z)} = \frac{0,23051(z+1)z(z-1)}{z(z-1)(z-0,2187)(z-0,9536) + 0,4018(z-0,75)^2(z+1)}$$

E então se utilizou o código abaixo para analisar os diagramas de polos e zeros das FTs.

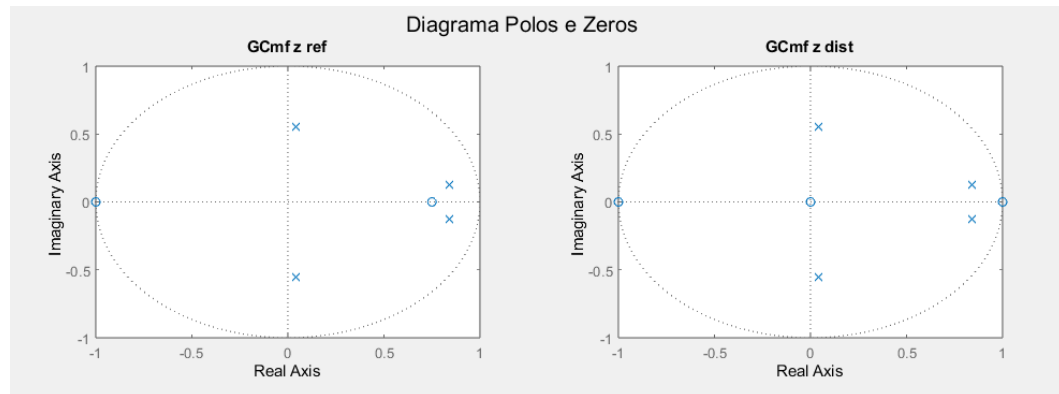
```
17  
18 %% Controlador  
19 z = tf('z', Ts)  
20 Kc = 1.7433;  
21 z1 = 0.75; z2 = 0.75;  
22 %z1 = 0.6521; z2 = 0.4896;  
23 C_z = Kc*((z - z1)*(z - z2))/(z*(z-1))  
24  
25  
26 %% Resposta do sistema da referência  
27 Gc_mf_z_ref = feedback(Gma_z*C_z, 1)  
28  
29 %% Resposta do sistema ao distúrbio  
30 G_mf_z_dist = (0.23051*z*(z+1)*(z-1)) / (z*(z-1)*(z-0.2187)*(z-0.9536) + Kc*0.23051*(z-z1)*(z-z1)*(z+1));  
31  
32 %% Diagrama de polos e zeros e Resposta ao degrau  
33 figure(1)  
34 subplot(2,2,1)  
35 pzmap(Gc_mf_z_ref)  
36 title('Gmf z ref')  
37  
38 subplot(2,2,2)  
39 pzmap(G_mf_z_dist)  
40 title('Gmf z dist')  
41  
42 subplot(2,2,3)  
43 step(Gc_mf_z_ref, feedback(Gma_z, 1))  
44 legend('FTMF_CONT', 'FTMF')  
45 title('Gmf z ref C1')  
46 grid on; box on;  
47  
48 subplot(2,2,4)  
49 step(G_mf_z_dist, feedback(Gma_z, 1))  
50 legend('FTMF_CONT', 'FTMF')  
51 title('Gmf z dist C1')  
52 grid on; box on;
```



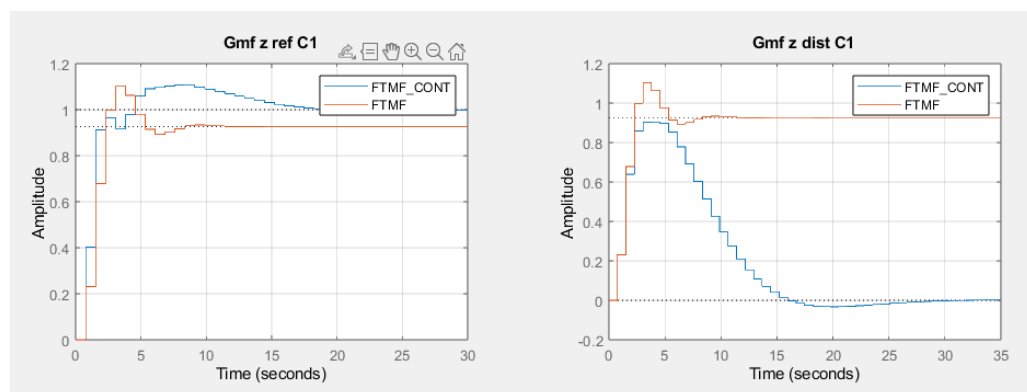
MINISTÉRIO DA EDUCAÇÃO
SECRETARIA DE EDUCAÇÃO PROFISSIONAL E TECNOLÓGICA
INSTITUTO FEDERAL DE EDUCAÇÃO, CIÊNCIA E TECNOLOGIA DO AMAPÁ
CAMPUS MANAUS - DISTRITO INDUSTRIAL



E se obteve os diagramas:



A diferença entre o diagrama da resposta ao distúrbio e o diagrama da planta é a presença de um zero na origem, um zero puramente de avanço, e o zero dominante que passa a estar em cima do círculo unitário, se tornando ainda mais dominante no sistema o que aceleraria mais ainda a resposta do ao distúrbio. E, devido os polos dominantes serem polos complexos conjugados, e por estarem próximo da reta real, é esperado uma oscilação pequena.



Ao analisar a resposta o distúrbio se nota que a mesma não concorda exatamente com o previsto quanto a velocidade da resposta ao distúrbio. Uma possível explicação é que, o zero em 1 vem do controlador, e este passa a atuar na correção do distúrbio apenas quando se computa a realimentação da malha fechada, o que causa um pequeno atraso no tempo de assentamento do distúrbio em comparação com a resposta a referência.

Através do código desenvolvido, se testou a resposta do sistema para ganhos diferentes do controlador e aumentando o ganho para 2.1 se obteve pequeno aprimoramento no desempenho da resposta ao distúrbio, o tempo de assentamento que era de 24.32 segundo passou a ser 22.04 segundos, enquanto a resposta $Y(Z)/R(Z)$ se manteve dentro das especificações desejadas. Isso se deve aos polos dominantes de $Y(Z)/Q(Z)$ terem sua parte real levemente diminuída, tornando-os menos dominantes/atrasando menos a resposta do sistema. Não se pode toda via aumentar ainda o ganho, pois os polos não dominantes de $Y(Z)/Q(Z)$ tornariam instáveis ao cruzar para ao lado esquerdo do círculo unitário.



4. (Projeto Controlador DeadBeat)

- a) Ajuste um controlador Deadbeat que garanta seguimento de referência com erro nulo. Mostre as etapas de projeto claramente e com destaque para resultados intermediários importantes. O controle rejeita distúrbios?

Para o controle deadbeat é presumido que já se possui a planta discretizada e, portanto, o tempo de assentamento não é um fator a ser considerado. Toda via, este tem uma influência na resposta do controle deadbeat, um tempo de amostragem muito abaixo resultará em uma ação de controle muito grande, enquanto um tempo de amostragem muito alto torna o sistema vulnerável a ruídos do distúrbio. Como orientado previamente pelo professor, será desenvolvido o controle dead beat para diferentes tempos de amostragem para exemplificação do que foi dito anteriormente. Inicialmente, será utilizado o mesmo T_s utilizando nas questões anteriores de 0.84 segundos, em sequência serão refeitos os cálculos para 2 e 3 vezes este T_s .

Para projeto do deadbeat é necessário calcular qual será a malha fechada teórica do sistema, para isso, inicialmente, se faz uma divisão longa da FT da planta para se descobrir a partir de qual termo se terá uma resposta, os termos prévios deste serão desconsiderados para os cálculos.

* Verificando atraso do sistema:

$$G_p(z) = \frac{0,26526(z+1)}{(z-0,7859)(z-0,9488)} = \frac{0,26526z + 0,26526}{z^2 - 1,7347z + 0,7763} = \frac{0,26526z^{-1} + 0,26526z^{-2}}{1 - 1,7347z^{-1} + 0,7763z^{-2}}$$

* Divisão longa

$$\begin{array}{r} 0,26526z^{-1} + 0,26526z^{-2} \quad | \quad 1 - 1,7347z^{-1} + 0,7763z^{-2} \\ -(0,26526z^{-1} - 0,325z^{-2} + 0,05z^{-3}) \quad | \quad 0,26526z^{-1} - 0,0385z^{-2} + \dots \\ \hline -0,0385z^{-2} + 0,05z^{-3} \end{array}$$

* sistema começa a agir a partir do 1º tempo de amostragem.

Escolhendo $p = n$:

* $G_m(z) = g_0 + g_1z^{-1} + g_2z^{-2}$, onde $g_0 = 0$ porque não existe resposta instantânea



Cálculo das constantes de $G_{mf}(Z)$:

* Para se calcular os termos de $G_{mf}(z)$, deve-se analisar as condições que a planta deve atender. A mesma deve ter erro nulo, portanto $G_{mf}(1) = 1$. E a mesma possui um zero sobre o círculo unitário devido à discretização, o qual não pode ser cancelado, logo: $G_{mf}(-1) = 0$.

$$* G_{mf}(z) = g_1 z^{-1} + g_2 z^{-2}$$

$$* G_{mf}(1) = 1$$

$$g_1(1)^{-1} + g_2(1)^{-2} = 1$$

$$g_1 + g_2 = 1$$

$$* G_{mf}(-1) = 0$$

$$g_1(-1)^{-1} + g_2(-1)^{-2} = 0$$

$$-g_1 + g_2 = 0$$

* resolvendo o sistema:

$$\begin{bmatrix} 1 & 1 \\ -1 & 1 \end{bmatrix} \begin{bmatrix} g_1 \\ g_2 \end{bmatrix} = \begin{bmatrix} 1 \\ 0 \end{bmatrix} \text{ se obtém } g_1 = 0,5 \text{ e } g_2 = 0,5$$

De posse das constantes de G_{mf} basta apenas calcular o controlador.

calculando o controlador.

$$G_c(z) = \frac{1}{G_p(z)} \cdot \frac{G_{mf}(z)}{[1 - G_{mf}(z)]} = \frac{z^2 - 1,1347z + 0,1763}{0,2865z + 0,2865} \cdot \frac{(0,5z^{-1} + 0,5z^{-2})}{[1 - 0,5z^{-1} + 0,5z^{-2}]}$$

$$G_c(z) = \frac{1,885(z - 0,7859)(z - 0,9488)}{(z - 1)(z + 0,5)}$$

Dado que o valor das constantes de $G_{mf}(Z)$ independem do tempo de amostragem T_s , o cálculo do controlador deadbeat para os outros tempos de amostragem será o mesmo, mudando apenas o valor da planta $G_p(Z)$, para simplificação dos cálculos se realizou estes pelo matlab.

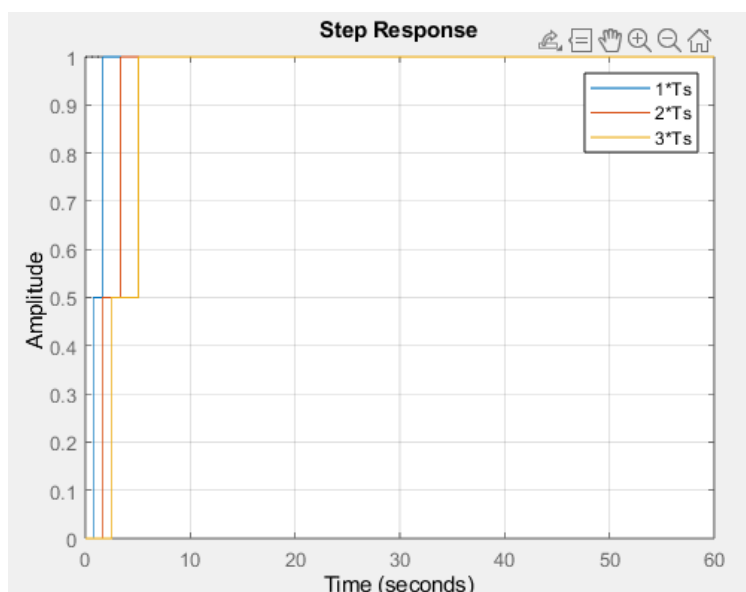


MINISTÉRIO DA EDUCAÇÃO
SECRETARIA DE EDUCAÇÃO PROFISSIONAL E TECNOLÓGICA
INSTITUTO FEDERAL DE EDUCAÇÃO, CIÊNCIA E TECNOLOGIA DO AMAZONAS
CAMPUS MANAUS - DISTRITO INDUSTRIAL



O código escrito abaixo foi utilizado para cálculo dos controladores, com os resultados obtidos a direita:

<pre>16 17 %% 1*Ts 18 Ts1 = tsd/25; 19 Gma_z1 = c2d(Gma, Ts1, 'matched') 20 21 z = tf('z', Ts1) 22 Gmf1 = 0.5*z^(-1) + 0.5*z^(-2) 23 Gc1 = minreal((Gma_z1^(-1))*(Gmf1)/(1-Gmf1)) 24 25 26 %% 2*Ts 27 Ts2 = Ts1*2; 28 Gma_z2 = c2d(Gma, Ts2, 'matched') 29 30 z = tf('z', Ts2) 31 Gmf2 = 0.5*z^(-1) + 0.5*z^(-2) 32 Gc2 = minreal((Gma_z2^(-1))*(Gmf2)/(1-Gmf2)) 33 34 35 %% 3*Ts 36 Ts3 = Ts1*3; 37 Gma_z3 = c2d(Gma, Ts3, 'matched') 38 39 z = tf('z', Ts3) 40 Gmf3 = 0.5*z^(-1) + 0.5*z^(-2) 41 Gc3 = minreal((Gma_z3^(-1))*(Gmf3)/(1-Gmf3)) 42 43 Gmf1 = minreal(feedback(Gc1*Gma_z1, 1)) 44 Gmf2 = minreal(feedback(Gc2*Gma_z2, 1)) 45 Gmf3 = minreal(feedback(Gc3*Gma_z3, 1)) 46 step(Gmf1, Gmf2, Gmf3); 47 legend('1*Ts', '2*Ts', '3*Ts') 48 grid on; box on; 49</pre>	$G_{c1} = \frac{1.885 (z-0.1859) (z-0.9488)}{(z-1) (z+0.5)}$	$G_{mf1} = \frac{0.5 (z+1)}{z^2}$ <p>Sample time: 0.84139 seconds Discrete-time zero/pole/gain model.</p>
	$G_{c2} = \frac{0.81566 (z-0.03454) (z-0.9002)}{(z-1) (z+0.5)}$	$G_{mf2} = \frac{0.5 (z+1)}{z^2}$ <p>Sample time: 1.6828 seconds Discrete-time zero/pole/gain model.</p>
	$G_{c3} = \frac{0.54215 (z-0.00642) (z-0.8541)}{(z-1) (z+0.5)}$	$G_{mf3} = \frac{0.5 (z+1)}{z^2}$ <p>Sample time: 2.5242 seconds Discrete-time zero/pole/gain model.</p>



Pela resposta ao degrau observada a esquerda vê-se que o controlador Deadbeat cumpre com sua proposta, ele cancela a dinâmica da planta e alcança com tempo mínimo (3 tempos de amostragem nesse caso) a referência. O mesmo pode ser observado nas funções de transferência de malha fechada acima, a planta é cancelada (exceto o zero em -1), e sobra apenas a ação do controlador. Na prática tal controlador é impossível de ser implementado, dado que



MINISTÉRIO DA EDUCAÇÃO
SECRETARIA DE EDUCAÇÃO PROFISSIONAL E TECNOLÓGICA
INSTITUTO FEDERAL DE EDUCAÇÃO, CIÊNCIA E TECNOLOGIA DO AMAZONAS
CAMPUS MANAUS - DISTRITO INDUSTRIAL

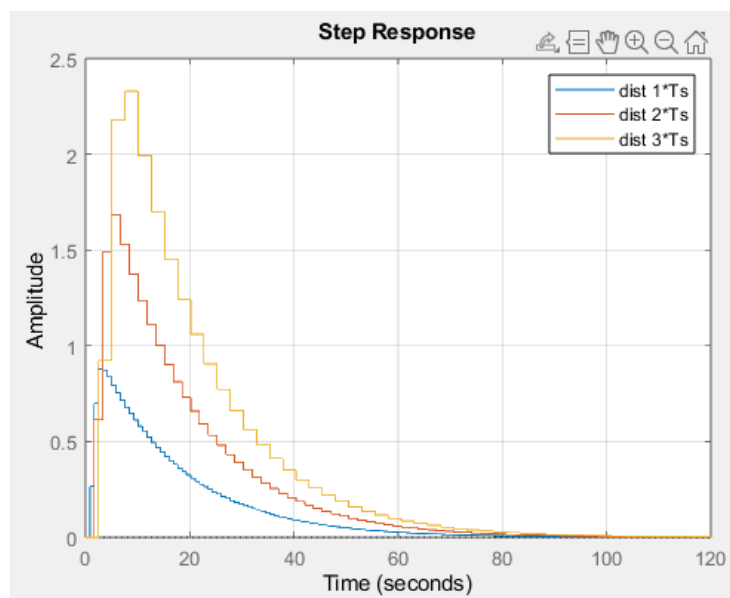


sua própria definição parte de uma inverdade matemática.

Para análise da resposta ao distúrbio, se desenvolveu o seguinte código:

```
53 %% resposta ao distúrbio
54 - Gmf1_dist = Gma_z1 / (1 + Gma_z1*Gc1);
55 - Gmf2_dist = Gma_z2 / (1 + Gma_z2*Gc2);
56 - Gmf3_dist = Gma_z3 / (1 + Gma_z3*Gc3);
57 - step(Gmf1_dist, Gmf2_dist, Gmf3_dist);
58 - legend("dist 1*Ts", "dist 2*Ts", "dist 3*Ts")
59 - grid on; box on;
```

De onde se obteve o gráfico:



O sistema rejeita distúrbios, se observa que quanto menor o tempo de amostragem, mais rápido o controlador foi capaz de responder ao distúrbio, por sua vez atenuando este. O controlador projetado para 3 vezes o T_s original obteve um pico de resposta maior do que o dobro do pico da resposta do sistema com o T_s original, pois o mesmo demora mais para começar a atuar no distúrbio.